

Eingabe: Farbmétrisches Fernseh-Licht-System TLS18

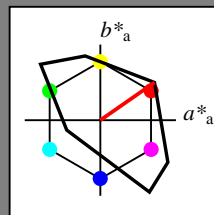
für Buntton $h^* = lab^*h = 35/360 = 0.097$

lab^*tch und lab^*nch

D65: Buntton O

LCH*Ma: 53 87 35

olv*Ma: 1.0 0.0 0.0



TLS18; adaptierte CIELAB-Daten

	$L^*=L^*_a$	a^*_a	b^*_a	$C^*_{ab,a}$	$h^*_{ab,a}$
O _m	52.76	71.63	49.88	87.29	35
Y _m	92.74	-20.02	84.97	87.3	103
L _m	84.0	-78.98	73.94	108.2	137
C _m	87.14	-44.41	-13.11	46.32	196
V _m	35.47	64.92	-95.06	115.12	304
M _m	59.01	89.33	-55.67	105.26	328
N _m	18.01	0.0	0.0	0.0	0
W _m	95.41	0.0	0.0	0.0	0
R _{CIE}	39.92	58.74	27.99	65.07	25
J _{CIE}	81.26	-2.88	71.56	71.62	92
G _{CIE}	52.23	-42.41	13.6	44.55	162
B _{CIE}	30.57	1.41	-46.46	46.49	272

Dreiecks-Helligkeit t^*

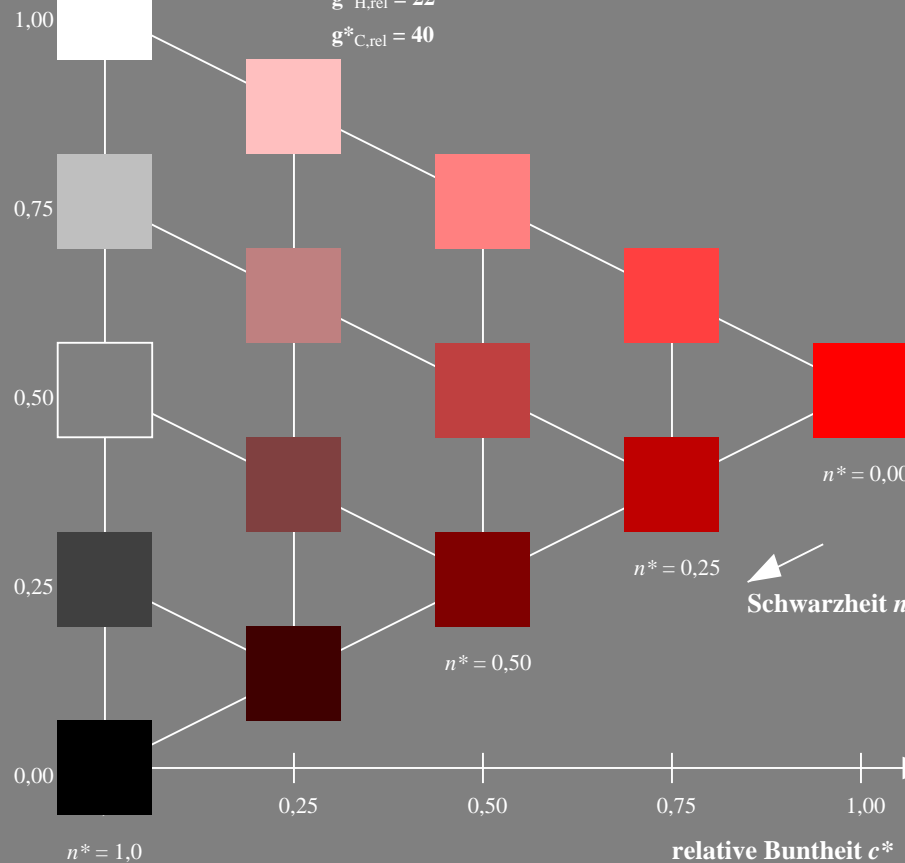
%Umfang

$u^*_{rel} = 118$

%Regularität

$g^*_{H,rel} = 22$

$g^*_{C,rel} = 40$



NG290-7, 5 stufige Reihen für konstanten CIELAB Buntton 35/360 = 0.097 (links)

Ausgabe: Farbmétrisches Fernseh-Licht-System TLS18

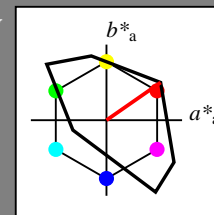
für Buntton $h^* = lab^*h = 35/360 = 0.097$

LAB^*LCH, LAB^*NCH

D65: Buntton O

LCH*Ma: 53 87 35

olv*Ma: 1.0 0.0 0.0



TLS18; adaptierte CIELAB-Daten

	$L^*=L^*_a$	a^*_a	b^*_a	$C^*_{ab,a}$	$h^*_{ab,a}$
O _m	52.76	71.63	49.88	87.29	35
Y _m	92.74	-20.02	84.97	87.3	103
L _m	84.0	-78.98	73.94	108.2	137
C _m	87.14	-44.41	-13.11	46.32	196
V _m	35.47	64.92	-95.06	115.12	304
M _m	59.01	89.33	-55.67	105.26	328
N _m	18.01	0.0	0.0	0.0	0
W _m	95.41	0.0	0.0	0.0	0
R _{CIE}	39.92	58.74	27.99	65.07	25
J _{CIE}	81.26	-2.88	71.56	71.62	92
G _{CIE}	52.23	-42.41	13.6	44.55	162
B _{CIE}	30.57	1.41	-46.46	46.49	272

CIELAB-Helligkeit L^*

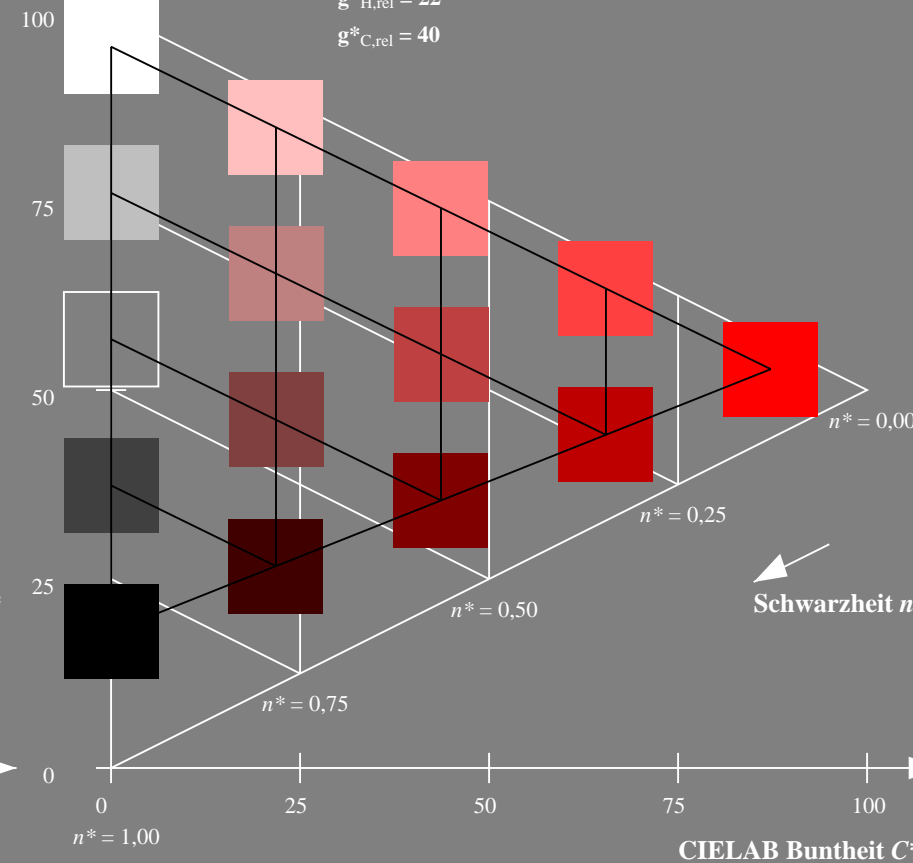
%Umfang

$u^*_{rel} = 118$

%Regularität

$g^*_{H,rel} = 22$

$g^*_{C,rel} = 40$



5 stufige Reihen für konstanten CIELAB Buntton 35/360 = 0.097 (rechts)

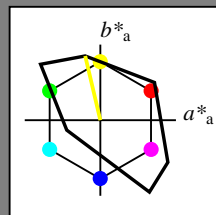
BAM-Prüfvorlage NG29; Farbmétrik-Systeme TLS18 & TLS18 input: olv* setrgbcolor

D65: Koordinatensysteme; 5stufige Farbreihen für 10 Bunttöne output: no change compared to input

Eingabe: Farbmimetrisches Fernseh-Licht-System TLS18

für Buntton $h^* = lab^*h = 103/360 = 0.287$
 lab^*tch und lab^*nch

D65: Buntton Y
LCH*Ma: 93 87 103
olv*Ma: 1.0 1.0 0.0

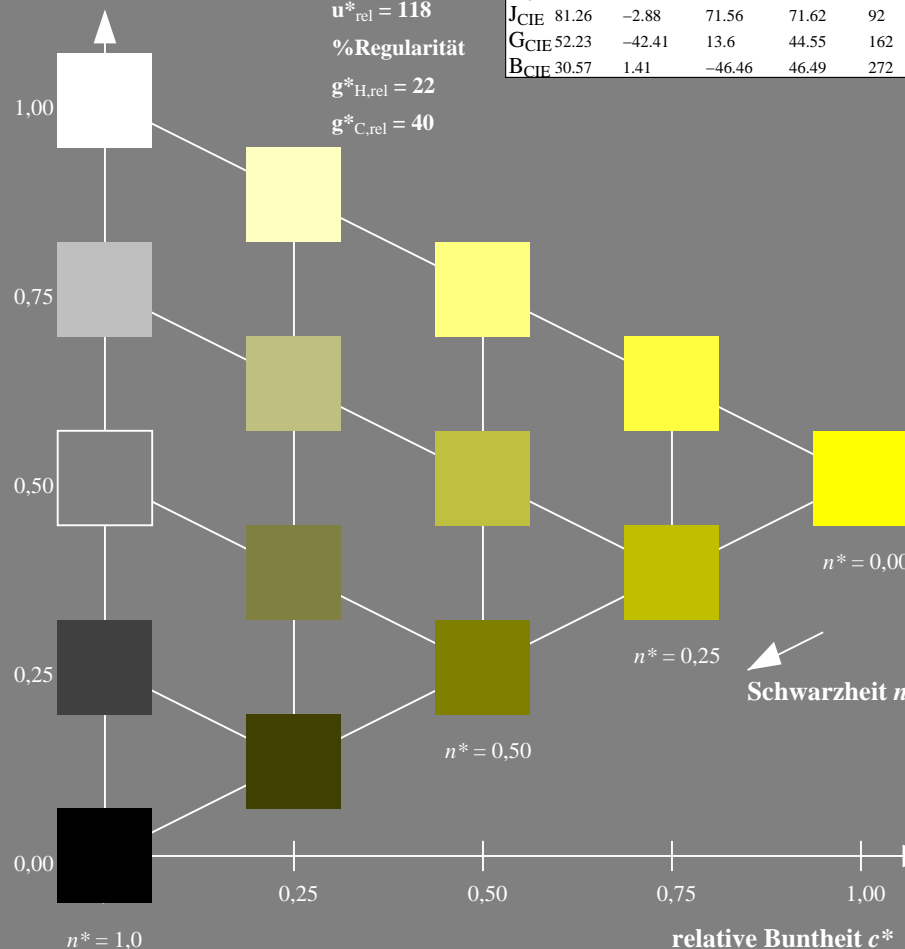


TLS18; adaptierte CIELAB-Daten

	$L^*=L^*_a$	a^*_a	b^*_a	$C^*_{ab,a}$	$h^*_{ab,a}$
O _m	52.76	71.63	49.88	87.29	35
Y _m	92.74	-20.02	84.97	87.3	103
L _m	84.0	-78.98	73.94	108.2	137
C _m	87.14	-44.41	-13.11	46.32	196
V _m	35.47	64.92	-95.06	115.12	304
M _m	59.01	89.33	-55.67	105.26	328
N _m	18.01	0.0	0.0	0.0	0
W _m	95.41	0.0	0.0	0.0	0
R _{CIE}	39.92	58.74	27.99	65.07	25
J _{CIE}	81.26	-2.88	71.56	71.62	92
G _{CIE}	52.23	-42.41	13.6	44.55	162
B _{CIE}	30.57	1.41	-46.46	46.49	272

Dreiecks-Helligkeit t^*

%Umfang
 $u^*_{rel} = 118$
%Regularität
 $g^*_{H,rel} = 22$
 $g^*_{C,rel} = 40$

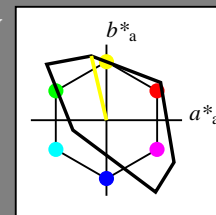


NG290-7, 5 stufige Reihen für konstanten CIELAB Buntton 103/360 = 0.287 (links)

Ausgabe: Farbmimetrisches Fernseh-Licht-System TLS18

für Buntton $h^* = lab^*h = 103/360 = 0.287$
 LAB^*LCH , LAB^*NCH

D65: Buntton Y
LCH*Ma: 93 87 103
olv*Ma: 1.0 1.0 0.0

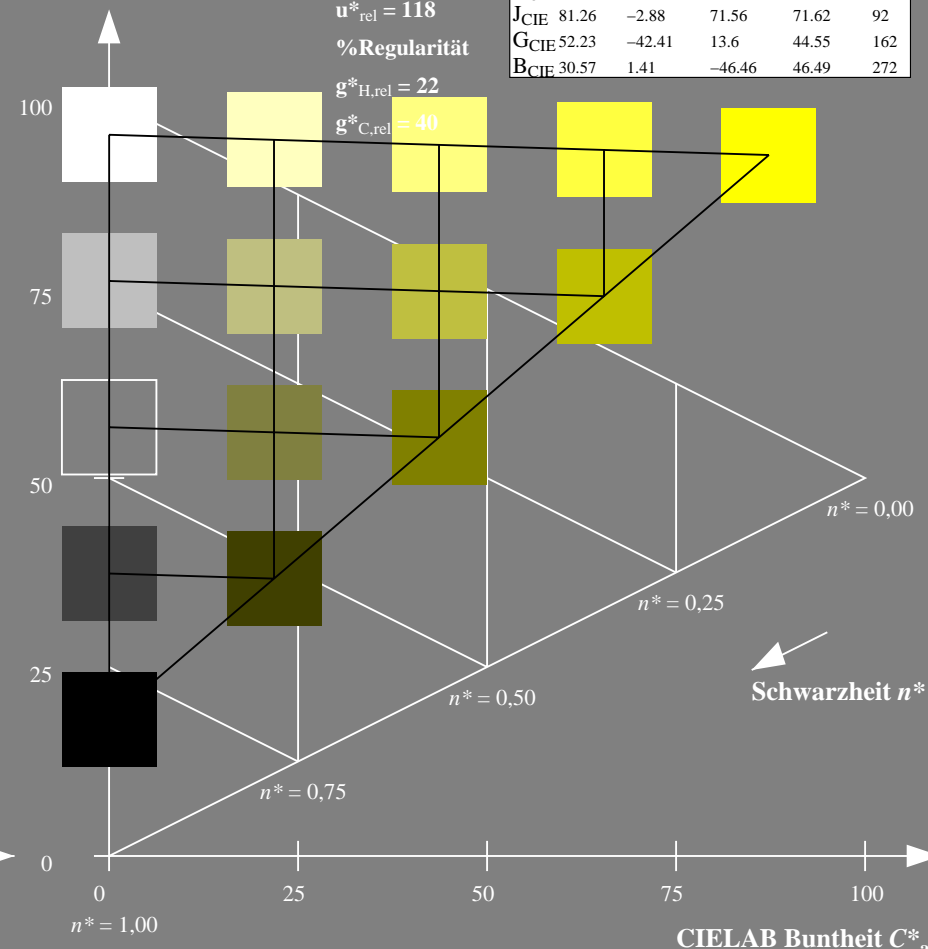


TLS18; adaptierte CIELAB-Daten

	$L^*=L^*_a$	a^*_a	b^*_a	$C^*_{ab,a}$	$h^*_{ab,a}$
O _m	52.76	71.63	49.88	87.29	35
Y _m	92.74	-20.02	84.97	87.3	103
L _m	84.0	-78.98	73.94	108.2	137
C _m	87.14	-44.41	-13.11	46.32	196
V _m	35.47	64.92	-95.06	115.12	304
M _m	59.01	89.33	-55.67	105.26	328
N _m	18.01	0.0	0.0	0.0	0
W _m	95.41	0.0	0.0	0.0	0
R _{CIE}	39.92	58.74	27.99	65.07	25
J _{CIE}	81.26	-2.88	71.56	71.62	92
G _{CIE}	52.23	-42.41	13.6	44.55	162
B _{CIE}	30.57	1.41	-46.46	46.49	272

CIELAB-Helligkeit L^*

%Umfang
 $u^*_{rel} = 118$
%Regularität
 $g^*_{H,rel} = 22$
 $g^*_{C,rel} = 40$



5 stufige Reihen für konstanten CIELAB Buntton 103/360 = 0.287 (rechts)

BAM-Prüfvorlage NG29; Farbmimetrik-Systeme TLS18 & TLS18 input: olv* setrgbcolor

D65: Koordinatensysteme; 5stufige Farbreihen für 10 Bunttöne output: no change compared to input

Eingabe: Farbmétrisches Fernseh-Licht-System TLS18

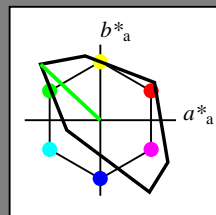
für Buntton $h^* = lab^*h = 137/360 = 0.38$

lab^*tch und lab^*nch

D65: Buntton L

LCH*Ma: 84 108 137

olv*Ma: 0.0 1.0 0.0



TLS18; adaptierte CIELAB-Daten

	$L^*=L^*_a$	a^*_a	b^*_a	$C^*_{ab,a}$	$h^*_{ab,a}$
O _m	52.76	71.63	49.88	87.29	35
Y _m	92.74	-20.02	84.97	87.3	103
L _m	84.0	-78.98	73.94	108.2	137
C _m	87.14	-44.41	-13.11	46.32	196
V _m	35.47	64.92	-95.06	115.12	304
M _m	59.01	89.33	-55.67	105.26	328
N _m	18.01	0.0	0.0	0.0	0
W _m	95.41	0.0	0.0	0.0	0
R _{CIE}	39.92	58.74	27.99	65.07	25
J _{CIE}	81.26	-2.88	71.56	71.62	92
G _{CIE}	52.23	-42.41	13.6	44.55	162
B _{CIE}	30.57	1.41	-46.46	46.49	272

Dreiecks-Helligkeit t^*

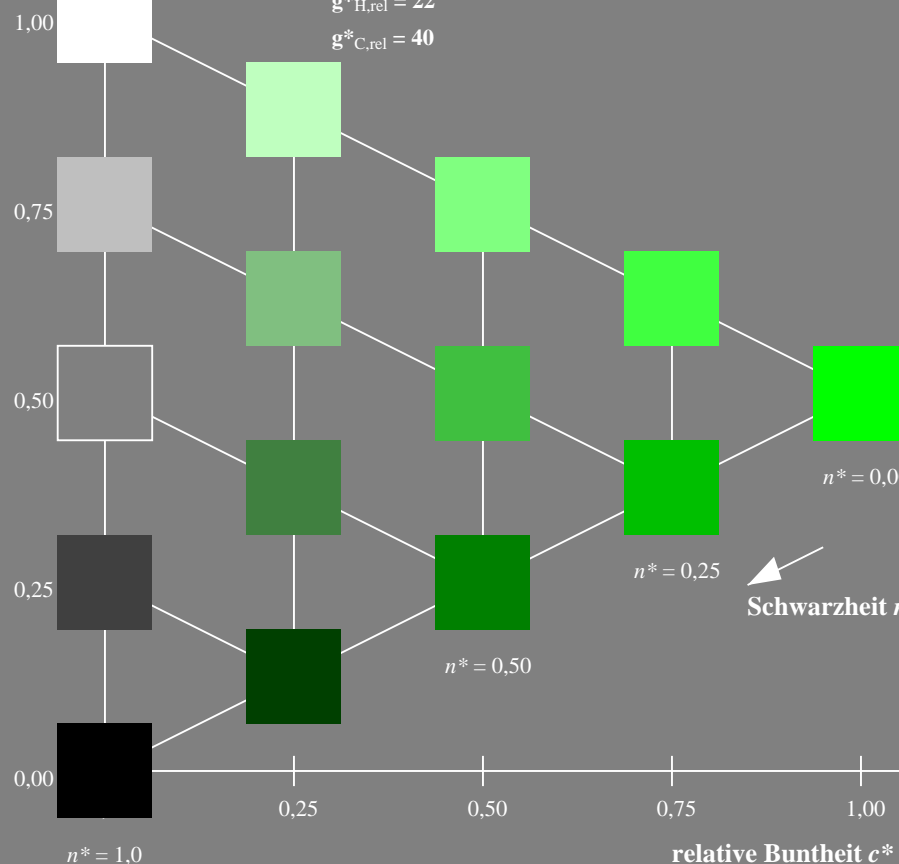
%Umfang

$u^*_{rel} = 118$

%Regularität

$g^*_{H,rel} = 22$

$g^*_{C,rel} = 40$



NG290-7, 5 stufige Reihen für konstanten CIELAB Buntton 137/360 = 0.38 (links)

Ausgabe: Farbmétrisches Fernseh-Licht-System TLS18

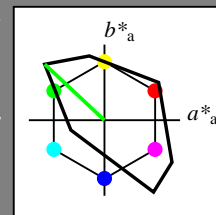
für Buntton $h^* = lab^*h = 137/360 = 0.38$

LAB^*LCH , LAB^*NCH

D65: Buntton L

LCH*Ma: 84 108 137

olv*Ma: 0.0 1.0 0.0



TLS18; adaptierte CIELAB-Daten

	$L^*=L^*_a$	a^*_a	b^*_a	$C^*_{ab,a}$	$h^*_{ab,a}$
O _m	52.76	71.63	49.88	87.29	35
Y _m	92.74	-20.02	84.97	87.3	103
L _m	84.0	-78.98	73.94	108.2	137
C _m	87.14	-44.41	-13.11	46.32	196
V _m	35.47	64.92	-95.06	115.12	304
M _m	59.01	89.33	-55.67	105.26	328
N _m	18.01	0.0	0.0	0.0	0
W _m	95.41	0.0	0.0	0.0	0
R _{CIE}	39.92	58.74	27.99	65.07	25
J _{CIE}	81.26	-2.88	71.56	71.62	92
G _{CIE}	52.23	-42.41	13.6	44.55	162
B _{CIE}	30.57	1.41	-46.46	46.49	272

CIELAB-Helligkeit L^*

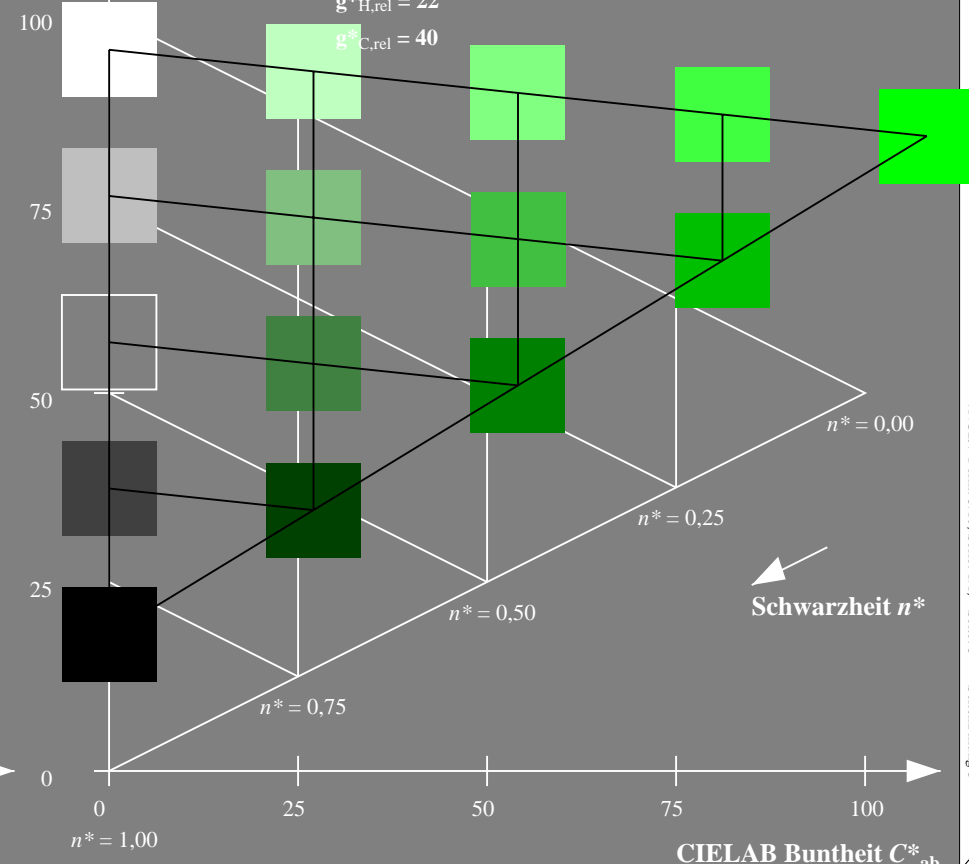
%Umfang

$u^*_{rel} = 118$

%Regularität

$g^*_{H,rel} = 22$

$g^*_{C,rel} = 40$



5 stufige Reihen für konstanten CIELAB Buntton 137/360 = 0.38 (rechts)

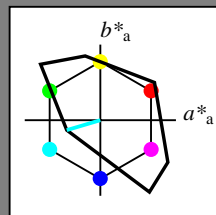
BAM-Prüfvorlage NG29; Farbmétrik-Systeme TLS18 & TLS18 input: olv* setrgbcolor

D65: Koordinatensysteme; 5stufige Farbreihen für 10 Bunttöne output: no change compared to input

Eingabe: Farbmétrisches Fernseh-Licht-System TLS18

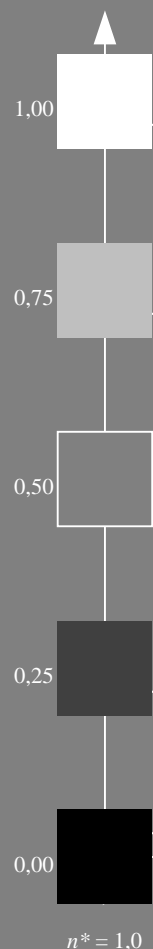
für Buntton $h^* = lab^*h = 196/360 = 0.546$
 lab^*tch und lab^*nch

D65: Buntton C
LCH*Ma: 87 46 196
olv*Ma: 0.0 1.0 1.0



TLS18; adaptierte CIELAB-Daten					
	$L^*=L^*_a$	a^*_a	b^*_a	$C^*_{ab,a}$	$h^*_{ab,a}$
O _m	52.76	71.63	49.88	87.29	35
Y _m	92.74	-20.02	84.97	87.3	103
L _m	84.0	-78.98	73.94	108.2	137
C _m	87.14	-44.41	-13.11	46.32	196
V _m	35.47	64.92	-95.06	115.12	304
M _m	59.01	89.33	-55.67	105.26	328
N _m	18.01	0.0	0.0	0.0	0
W _m	95.41	0.0	0.0	0.0	0
R _{CIE}	39.92	58.74	27.99	65.07	25
J _{CIE}	81.26	-2.88	71.56	71.62	92
G _{CIE}	52.23	-42.41	13.6	44.55	162
B _{CIE}	30.57	1.41	-46.46	46.49	272

Dreiecks-Helligkeit t^*



%Umfang
 $u^*_{rel} = 118$
%Regularität
 $g^*_{H,rel} = 22$
 $g^*_{C,rel} = 40$

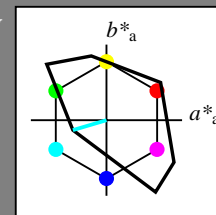
$n^* = 0,00$
 $n^* = 0,25$
 $n^* = 0,50$
relative Bunttheit c^*

Schwarzheit n^*

Ausgabe: Farbmétrisches Fernseh-Licht-System TLS18

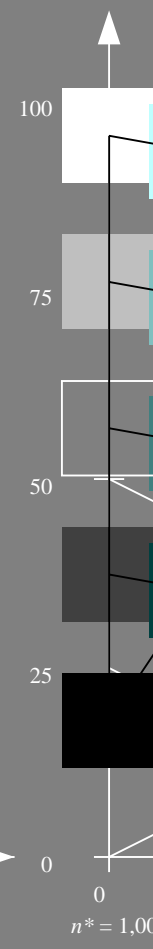
für Buntton $h^* = lab^*h = 196/360 = 0.546$
 LAB^*LCH , LAB^*NCH

D65: Buntton C
LCH*Ma: 87 46 196
olv*Ma: 0.0 1.0 1.0



TLS18; adaptierte CIELAB-Daten					
	$L^*=L^*_a$	a^*_a	b^*_a	$C^*_{ab,a}$	$h^*_{ab,a}$
O _m	52.76	71.63	49.88	87.29	35
Y _m	92.74	-20.02	84.97	87.3	103
L _m	84.0	-78.98	73.94	108.2	137
C _m	87.14	-44.41	-13.11	46.32	196
V _m	35.47	64.92	-95.06	115.12	304
M _m	59.01	89.33	-55.67	105.26	328
N _m	18.01	0.0	0.0	0.0	0
W _m	95.41	0.0	0.0	0.0	0
R _{CIE}	39.92	58.74	27.99	65.07	25
J _{CIE}	81.26	-2.88	71.56	71.62	92
G _{CIE}	52.23	-42.41	13.6	44.55	162
B _{CIE}	30.57	1.41	-46.46	46.49	272

CIELAB-Helligkeit L^*



%Umfang
 $u^*_{rel} = 118$
%Regularität
 $g^*_{H,rel} = 22$
 $g^*_{C,rel} = 40$

$n^* = 0,00$
 $n^* = 0,25$
 $n^* = 0,50$
 $n^* = 0,75$
CIELAB Bunttheit C^*_{ab}

Schwarzheit n^*

NG290-7, 5 stufige Reihen für konstanten CIELAB Buntton 196/360 = 0.546 (links)

5 stufige Reihen für konstanten CIELAB Buntton 196/360 = 0.546 (rechts)

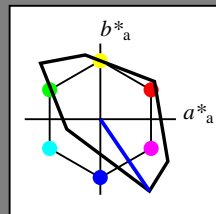
BAM-Prüfvorlage NG29; Farbmétrik-Systeme TLS18 & TLS18 input: olv* setrgbcolor

D65: Koordinatensysteme; 5stufige Farbreihen für 10 Bunttöne output: no change compared to input

Eingabe: Farbmimetrisches Fernseh-Licht-System TLS18

für Buntton $h^* = lab \cdot h = 304/360 = 0.845$
 $lab \cdot tch$ und $lab \cdot nch$

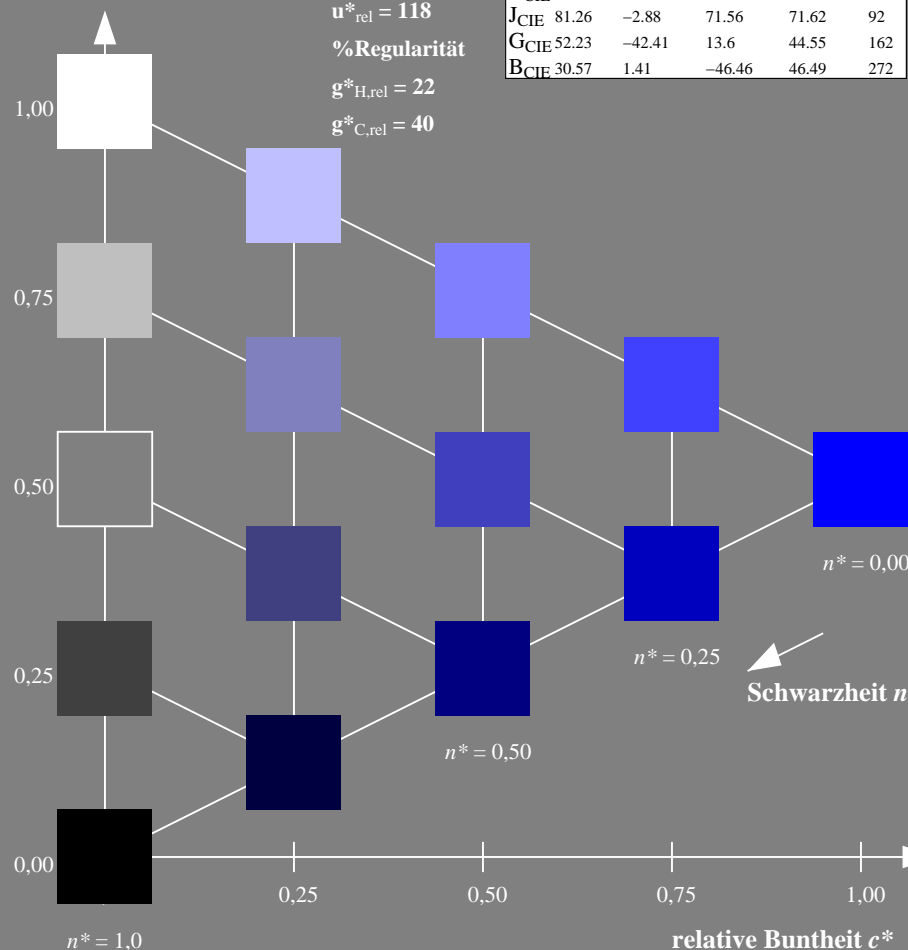
D65: Buntton V
LCH*Ma: 35 115 304
olv*Ma: 0.0 0.0 1.0



TLS18; adaptierte CIELAB-Daten					
	$L^*=L^*_a$	a^*_a	b^*_a	$C^*_{ab,a}$	$h^*_{ab,a}$
O _m	52.76	71.63	49.88	87.29	35
Y _m	92.74	-20.02	84.97	87.3	103
L _m	84.0	-78.98	73.94	108.2	137
C _m	87.14	-44.41	-13.11	46.32	196
V _m	35.47	64.92	-95.06	115.12	304
M _m	59.01	89.33	-55.67	105.26	328
N _m	18.01	0.0	0.0	0.0	0
W _m	95.41	0.0	0.0	0.0	0
R _{CIE}	39.92	58.74	27.99	65.07	25
J _{CIE}	81.26	-2.88	71.56	71.62	92
G _{CIE}	52.23	-42.41	13.6	44.55	162
B _{CIE}	30.57	1.41	-46.46	46.49	272

Dreiecks-Helligkeit t^*

%Umfang
 $u^*_{rel} = 118$
%Regularität
 $g^*_{H,rel} = 22$
 $g^*_{C,rel} = 40$

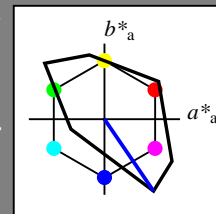


NG290-7, 5 stufige Reihen für konstanten CIELAB Buntton 304/360 = 0.845 (links)

Ausgabe: Farbmimetrisches Fernseh-Licht-System TLS18

für Buntton $h^* = lab \cdot h = 304/360 = 0.845$
 $LAB \cdot LCH$, $LAB \cdot NCH$

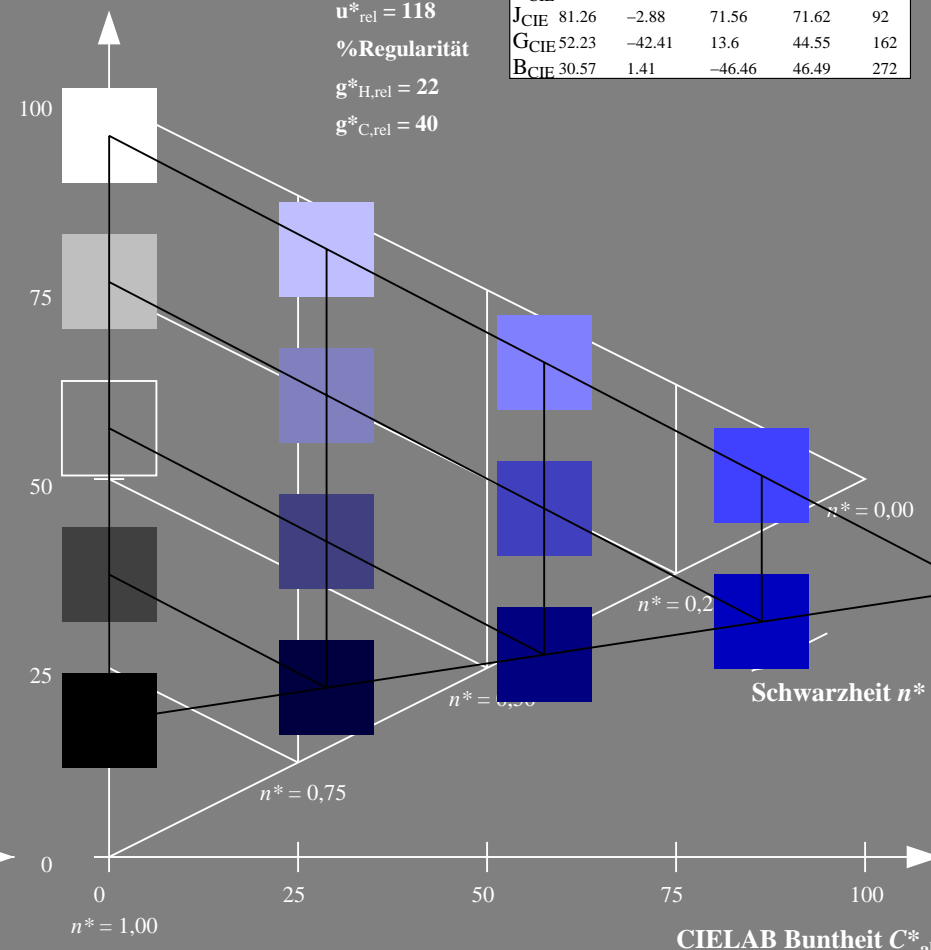
D65: Buntton V
LCH*Ma: 35 115 304
olv*Ma: 0.0 0.0 1.0



TLS18; adaptierte CIELAB-Daten					
	$L^*=L^*_a$	a^*_a	b^*_a	$C^*_{ab,a}$	$h^*_{ab,a}$
O _m	52.76	71.63	49.88	87.29	35
Y _m	92.74	-20.02	84.97	87.3	103
L _m	84.0	-78.98	73.94	108.2	137
C _m	87.14	-44.41	-13.11	46.32	196
V _m	35.47	64.92	-95.06	115.12	304
M _m	59.01	89.33	-55.67	105.26	328
N _m	18.01	0.0	0.0	0.0	0
W _m	95.41	0.0	0.0	0.0	0
R _{CIE}	39.92	58.74	27.99	65.07	25
J _{CIE}	81.26	-2.88	71.56	71.62	92
G _{CIE}	52.23	-42.41	13.6	44.55	162
B _{CIE}	30.57	1.41	-46.46	46.49	272

CIELAB-Helligkeit L^*

%Umfang
 $u^*_{rel} = 118$
%Regularität
 $g^*_{H,rel} = 22$
 $g^*_{C,rel} = 40$



5 stufige Reihen für konstanten CIELAB Buntton 304/360 = 0.845 (rechts)

BAM-Prüfvorlage NG29; Farbmimetrik-Systeme TLS18 & TLS18 input: olv* setrgbcolor

D65: Koordinatensysteme; 5stufige Farbreihen für 10 Bunttöne output: no change compared to input

Eingabe: Farbmimetrisches Fernseh-Licht-System TLS18

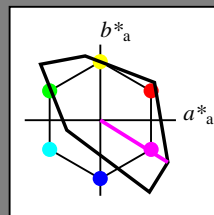
für Buntton $h^* = lab \cdot h = 328/360 = 0.911$

$lab \cdot tch$ und $lab \cdot nch$

D65: Buntton M

LCH*Ma: 59 105 328

olv*Ma: 1.0 0.0 1.0



TLS18; adaptierte CIELAB-Daten

	$L^*=L^*_a$	a^*_a	b^*_a	$C^*_{ab,a}$	$h^*_{ab,a}$
O _m	52.76	71.63	49.88	87.29	35
Y _m	92.74	-20.02	84.97	87.3	103
L _m	84.0	-78.98	73.94	108.2	137
C _m	87.14	-44.41	-13.11	46.32	196
V _m	35.47	64.92	-95.06	115.12	304
M _m	59.01	89.33	-55.67	105.26	328
N _m	18.01	0.0	0.0	0.0	0
W _m	95.41	0.0	0.0	0.0	0
R _{CIE}	39.92	58.74	27.99	65.07	25
J _{CIE}	81.26	-2.88	71.56	71.62	92
G _{CIE}	52.23	-42.41	13.6	44.55	162
B _{CIE}	30.57	1.41	-46.46	46.49	272

Dreiecks-Helligkeit t^*

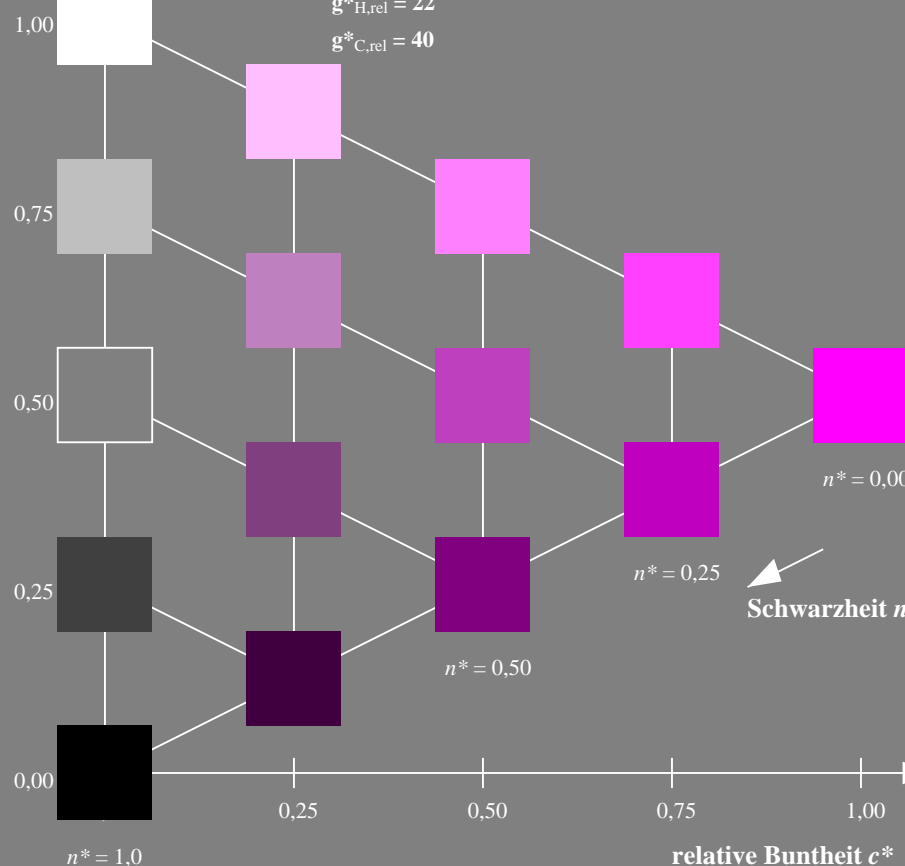
%Umfang

$u^*_{rel} = 118$

%Regularität

$g^*_{H,rel} = 22$

$g^*_{C,rel} = 40$



NG290-7, 5 stufige Reihen für konstanten CIELAB Buntton 328/360 = 0.911 (links)

Ausgabe: Farbmimetrisches Fernseh-Licht-System TLS18

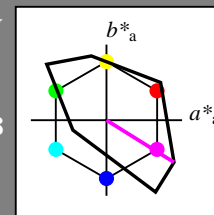
für Buntton $h^* = lab \cdot h = 328/360 = 0.911$

$LAB \cdot LCH$, $LAB \cdot NCH$

D65: Buntton M

LCH*Ma: 59 105 328

olv*Ma: 1.0 0.0 1.0



TLS18; adaptierte CIELAB-Daten

	$L^*=L^*_a$	a^*_a	b^*_a	$C^*_{ab,a}$	$h^*_{ab,a}$
O _m	52.76	71.63	49.88	87.29	35
Y _m	92.74	-20.02	84.97	87.3	103
L _m	84.0	-78.98	73.94	108.2	137
C _m	87.14	-44.41	-13.11	46.32	196
V _m	35.47	64.92	-95.06	115.12	304
M _m	59.01	89.33	-55.67	105.26	328
N _m	18.01	0.0	0.0	0.0	0
W _m	95.41	0.0	0.0	0.0	0
R _{CIE}	39.92	58.74	27.99	65.07	25
J _{CIE}	81.26	-2.88	71.56	71.62	92
G _{CIE}	52.23	-42.41	13.6	44.55	162
B _{CIE}	30.57	1.41	-46.46	46.49	272

CIELAB-Helligkeit L^*

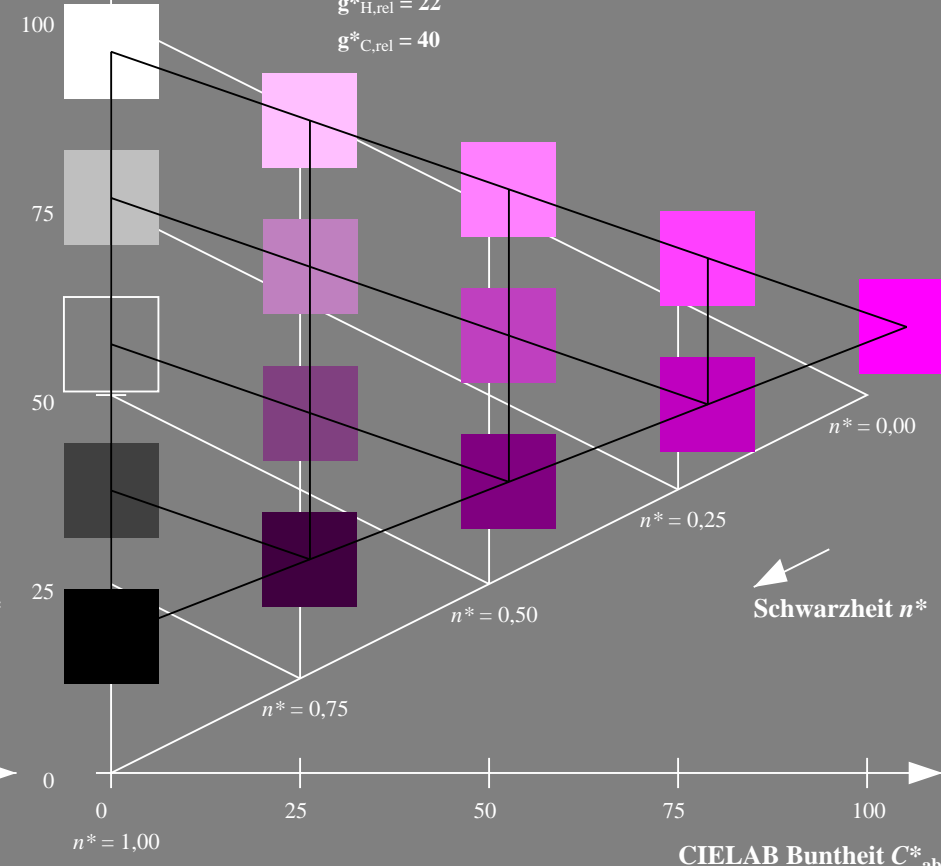
%Umfang

$u^*_{rel} = 118$

%Regularität

$g^*_{H,rel} = 22$

$g^*_{C,rel} = 40$



5 stufige Reihen für konstanten CIELAB Buntton 328/360 = 0.911 (rechts)

BAM-Prüfvorlage NG29; Farbmimetrik-Systeme TLS18 & TLS18 input: olv* setrgbcolor

D65: Koordinatensysteme; 5stufige Farbreihen für 10 Bunttöne output: no change compared to input

Eingabe: Farbmimetrisches Fernseh-Licht-System TLS18

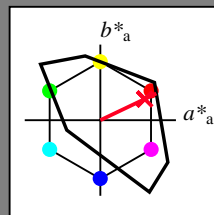
für Buntton $h^* = lab^*h = 25/360 = 0.071$

lab^*tch und lab^*nch

D65: Buntton R

LCH*Ma: 54 82 25

olv*Ma: 1.0 0.0 0.14



TLS18; adaptierte CIELAB-Daten

	$L^*=L^*_a$	a^*_a	b^*_a	$C^*_{ab,a}$	$h^*_{ab,a}$
O _m	52.76	71.63	49.88	87.29	35
Y _m	92.74	-20.02	84.97	87.3	103
L _m	84.0	-78.98	73.94	108.2	137
C _m	87.14	-44.41	-13.11	46.32	196
V _m	35.47	64.92	-95.06	115.12	304
M _m	59.01	89.33	-55.67	105.26	328
N _m	18.01	0.0	0.0	0.0	0
W _m	95.41	0.0	0.0	0.0	0
R _m	39.92	58.74	27.99	65.07	25
J _m	81.26	-2.88	71.56	71.62	92
G _m	52.23	-42.41	13.6	44.55	162
B _m	30.57	1.41	-46.46	46.49	272

Dreiecks-Helligkeit t^*

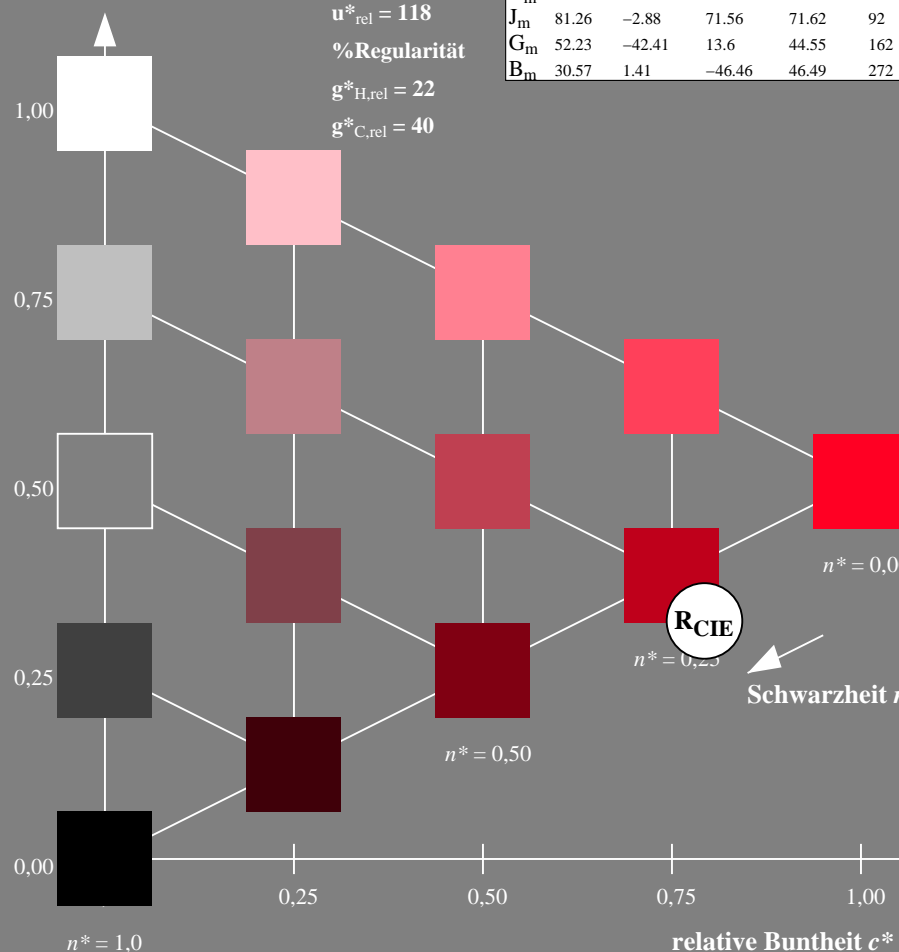
%Umfang

$u^*_{rel} = 118$

%Regularität

$g^*_{H,rel} = 22$

$g^*_{C,rel} = 40$



NG290-7, 5 stufige Reihen für konstanten CIELAB Buntton 25/360 = 0.071 (links)

Ausgabe: Farbmimetrisches Fernseh-Licht-System TLS18

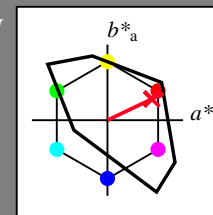
für Buntton $h^* = lab^*h = 25/360 = 0.071$

LAB^*LCH , LAB^*NCH

D65: Buntton R

LCH*Ma: 54 82 25

olv*Ma: 1.0 0.0 0.14



TLS18; adaptierte CIELAB-Daten

	$L^*=L^*_a$	a^*_a	b^*_a	$C^*_{ab,a}$	$h^*_{ab,a}$
O _m	52.76	71.63	49.88	87.29	35
Y _m	92.74	-20.02	84.97	87.3	103
L _m	84.0	-78.98	73.94	108.2	137
C _m	87.14	-44.41	-13.11	46.32	196
V _m	35.47	64.92	-95.06	115.12	304
M _m	59.01	89.33	-55.67	105.26	328
N _m	18.01	0.0	0.0	0.0	0
W _m	95.41	0.0	0.0	0.0	0
R _m	39.92	58.74	27.99	65.07	25
J _m	81.26	-2.88	71.56	71.62	92
G _m	52.23	-42.41	13.6	44.55	162
B _m	30.57	1.41	-46.46	46.49	272

CIELAB-Helligkeit L^*

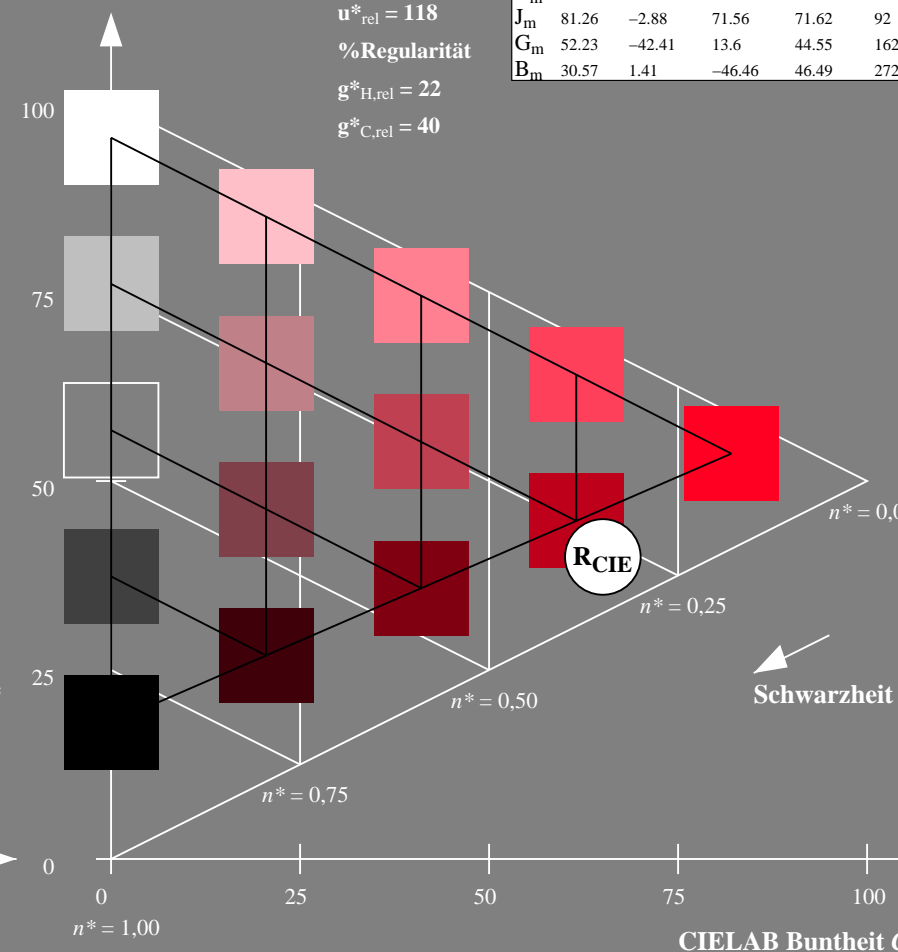
%Umfang

$u^*_{rel} = 118$

%Regularität

$g^*_{H,rel} = 22$

$g^*_{C,rel} = 40$



5 stufige Reihen für konstanten CIELAB Buntton 25/360 = 0.071 (rechts)

BAM-Prüfvorlage NG29; Farbmimetrik-Systeme TLS18 & TLS18 input: olv* setrgbcolor

D65: Koordinatensysteme; 5stufige Farbreihen für 10 Bunttöne output: no change compared to input

Eingabe: Farbmétrisches Fernseh-Licht-System TLS18

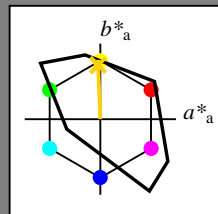
für Buntton $h^* = lab^*h = 92/360 = 0.256$

lab^*tch und lab^*nch

D65: Buntton J

LCH*Ma: 85 79 92

olv*Ma: 1.0 0.82 0.0



TLS18; adaptierte CIELAB-Daten

	$L^*=L^*_a$	a^*_a	b^*_a	$C^*_{ab,a}$	$h^*_{ab,a}$
O _m	52.76	71.63	49.88	87.29	35
Y _m	92.74	-20.02	84.97	87.3	103
L _m	84.0	-78.98	73.94	108.2	137
C _m	87.14	-44.41	-13.11	46.32	196
V _m	35.47	64.92	-95.06	115.12	304
M _m	59.01	89.33	-55.67	105.26	328
N _m	18.01	0.0	0.0	0.0	0
W _m	95.41	0.0	0.0	0.0	0
R _m	39.92	58.74	27.99	65.07	25
J _m	81.26	-2.88	71.56	71.62	92
G _m	52.23	-42.41	13.6	44.55	162
B _m	30.57	1.41	-46.46	46.49	272

Dreiecks-Helligkeit t^*

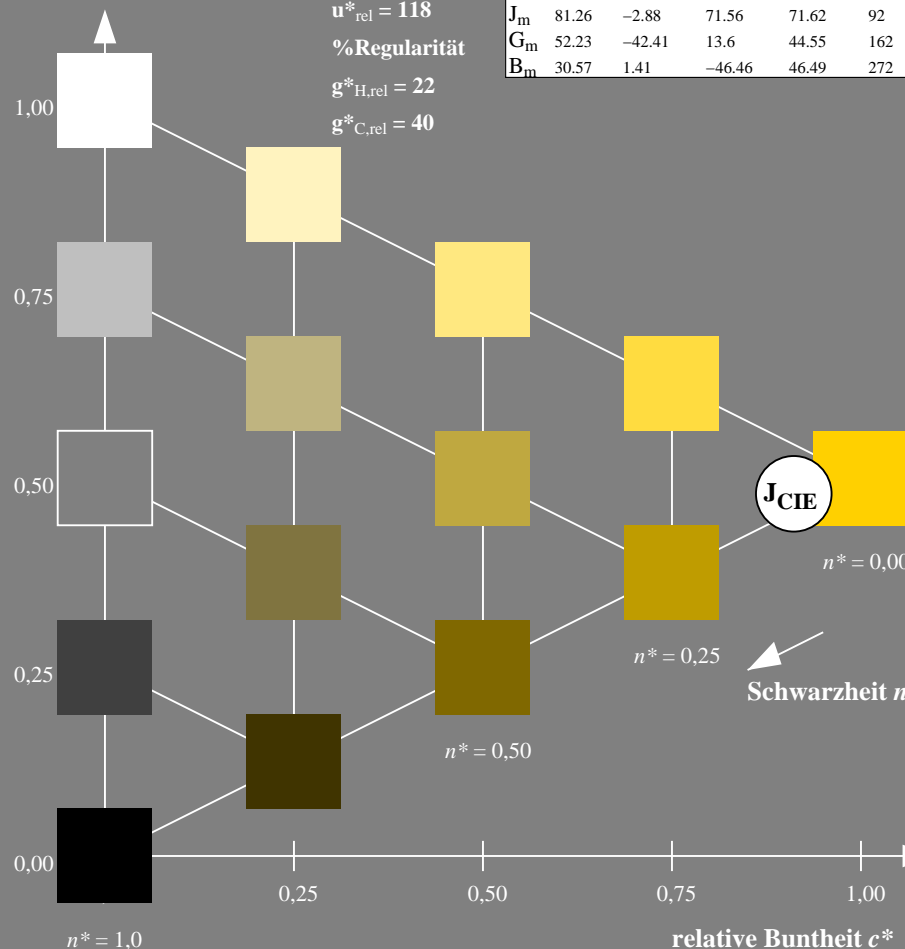
%Umfang

$u^*_{rel} = 118$

%Regularität

$g^*_{H,rel} = 22$

$g^*_{C,rel} = 40$



NG290-7, 5 stufige Reihen für konstanten CIELAB Buntton $92/360 = 0.256$ (links)

Ausgabe: Farbmétrisches Fernseh-Licht-System TLS18

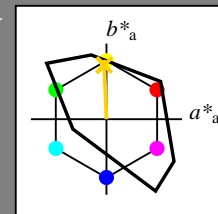
für Buntton $h^* = lab^*h = 92/360 = 0.256$

LAB^*LCH, LAB^*NCH

D65: Buntton J

LCH*Ma: 85 79 92

olv*Ma: 1.0 0.82 0.0



TLS18; adaptierte CIELAB-Daten

	$L^*=L^*_a$	a^*_a	b^*_a	$C^*_{ab,a}$	$h^*_{ab,a}$
O _m	52.76	71.63	49.88	87.29	35
Y _m	92.74	-20.02	84.97	87.3	103
L _m	84.0	-78.98	73.94	108.2	137
C _m	87.14	-44.41	-13.11	46.32	196
V _m	35.47	64.92	-95.06	115.12	304
M _m	59.01	89.33	-55.67	105.26	328
N _m	18.01	0.0	0.0	0.0	0
W _m	95.41	0.0	0.0	0.0	0
R _m	39.92	58.74	27.99	65.07	25
J _m	81.26	-2.88	71.56	71.62	92
G _m	52.23	-42.41	13.6	44.55	162
B _m	30.57	1.41	-46.46	46.49	272

CIELAB-Helligkeit L^*

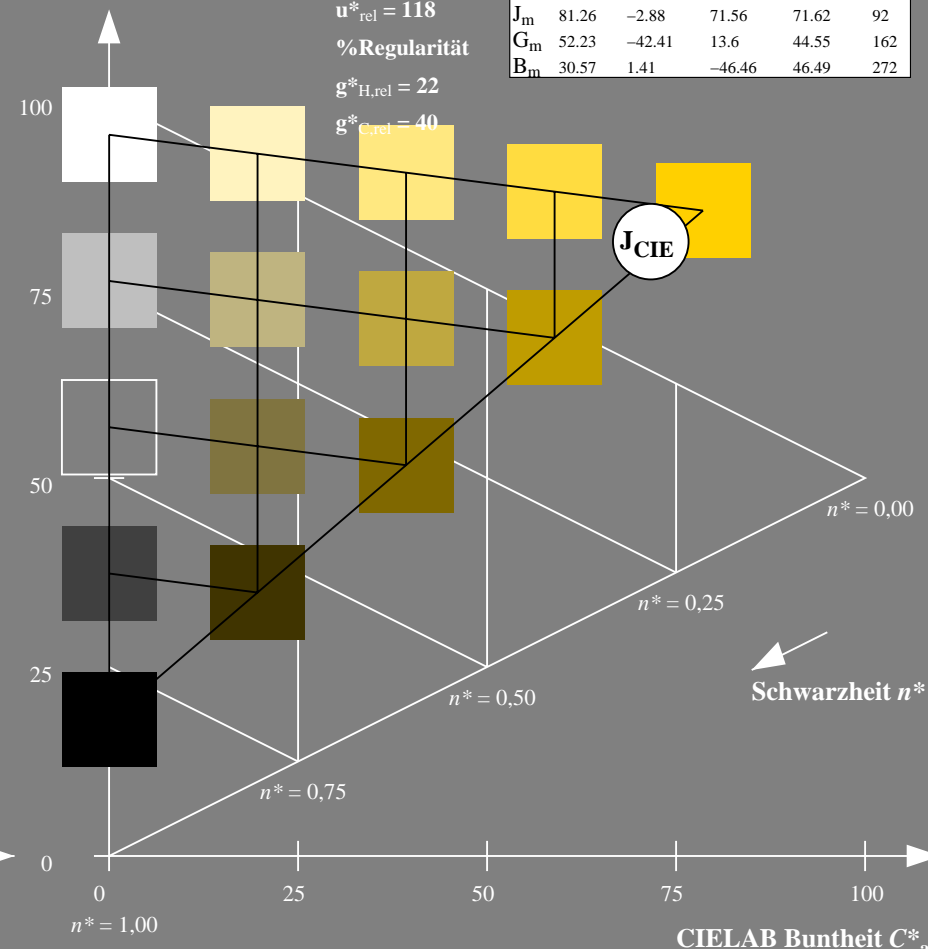
%Umfang

$u^*_{rel} = 118$

%Regularität

$g^*_{H,rel} = 22$

$g^*_{C,rel} = 40$



5 stufige Reihen für konstanten CIELAB Buntton $92/360 = 0.256$ (rechts)

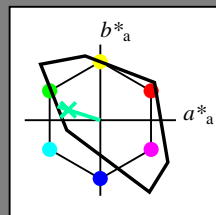
BAM-Prüfvorlage NG29; Farbmétrik-Systeme TLS18 & TLS18 input: olv* setrgbcolor

D65: Koordinatensysteme; 5stufige Farbreihen für 10 Bunttöne output: no change compared to input

Eingabe: Farbmimetrisches Fernseh-Licht-System TLS18

für Buntton $h^* = lab \cdot h = 162/360 = 0.451$
 $lab \cdot tch$ und $lab \cdot nch$

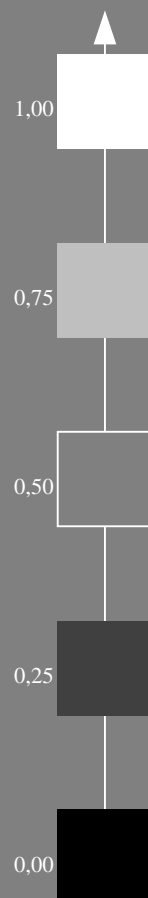
D65: Buntton G
LCH*Ma: 86 60 162
olv*Ma: 0.0 1.0 0.64



TLS18; adaptierte CIELAB-Daten

	$L^*=L^*_a$	a^*_a	b^*_a	$C^*_{ab,a}$	$h^*_{ab,a}$
O _m	52.76	71.63	49.88	87.29	35
Y _m	92.74	-20.02	84.97	87.3	103
L _m	84.0	-78.98	73.94	108.2	137
C _m	87.14	-44.41	-13.11	46.32	196
V _m	35.47	64.92	-95.06	115.12	304
M _m	59.01	89.33	-55.67	105.26	328
N _m	18.01	0.0	0.0	0.0	0
W _m	95.41	0.0	0.0	0.0	0
R _m	39.92	58.74	27.99	65.07	25
J _m	81.26	-2.88	71.56	71.62	92
G _m	52.23	-42.41	13.6	44.55	162
B _m	30.57	1.41	-46.46	46.49	272

Dreiecks-Helligkeit t^*



%Umfang

$u^*_{rel} = 118$

%Regularität

$g^*_{H,rel} = 22$

$g^*_{C,rel} = 40$

$n^* = 0,00$

$n^* = 0,25$

$n^* = 0,50$

G_{CIE}

Schwarzheit n^*

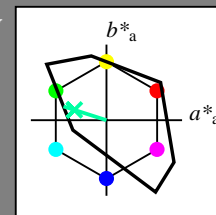
relative Buntheit c^*

NG290-7, 5 stufige Reihen für konstanten CIELAB Buntton 162/360 = 0.451 (links)

Ausgabe: Farbmimetrisches Fernseh-Licht-System TLS18

für Buntton $h^* = lab \cdot h = 162/360 = 0.451$
 $LAB \cdot LCH$, $LAB \cdot NCH$

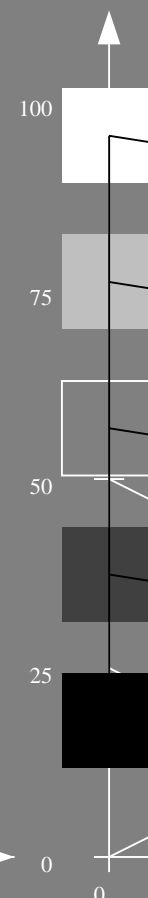
D65: Buntton G
LCH*Ma: 86 60 162
olv*Ma: 0.0 1.0 0.64



TLS18; adaptierte CIELAB-Daten

	$L^*=L^*_a$	a^*_a	b^*_a	$C^*_{ab,a}$	$h^*_{ab,a}$
O _m	52.76	71.63	49.88	87.29	35
Y _m	92.74	-20.02	84.97	87.3	103
L _m	84.0	-78.98	73.94	108.2	137
C _m	87.14	-44.41	-13.11	46.32	196
V _m	35.47	64.92	-95.06	115.12	304
M _m	59.01	89.33	-55.67	105.26	328
N _m	18.01	0.0	0.0	0.0	0
W _m	95.41	0.0	0.0	0.0	0
R _m	39.92	58.74	27.99	65.07	25
J _m	81.26	-2.88	71.56	71.62	92
G _m	52.23	-42.41	13.6	44.55	162
B _m	30.57	1.41	-46.46	46.49	272

CIELAB-Helligkeit L^*



%Umfang

$u^*_{rel} = 118$

%Regularität

$g^*_{H,rel} = 22$

$g^*_{C,rel} = 40$

$n^* = 0,00$

$n^* = 0,25$

$n^* = 0,50$

$n^* = 0,75$

Schwarzheit n^*

CIELAB Buntheit C^*_{ab}

5 stufige Reihen für konstanten CIELAB Buntton 162/360 = 0.451 (rechts)

BAM-Prüfvorlage NG29; Farbmimetrik-Systeme TLS18 & TLS18 input: olv* setrgbcolor

D65: Koordinatensysteme; 5stufige Farbreihen für 10 Bunttöne output: no change compared to input

Eingabe: Farbmimetrisches Fernseh-Licht-System TLS18

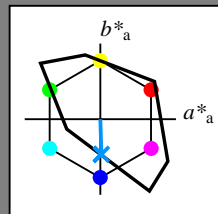
für Buntton $h^* = lab^*h = 272/360 = 0.755$

lab^*tch und lab^*nch

D65: Buntton B

LCH*Ma: 65 48 272

olv*Ma: 0.0 0.58 1.0



TLS18; adaptierte CIELAB-Daten

	$L^*=L^*_a$	a^*_a	b^*_a	$C^*_{ab,a}$	$h^*_{ab,a}$
O _m	52.76	71.63	49.88	87.29	35
Y _m	92.74	-20.02	84.97	87.3	103
L _m	84.0	-78.98	73.94	108.2	137
C _m	87.14	-44.41	-13.11	46.32	196
V _m	35.47	64.92	-95.06	115.12	304
M _m	59.01	89.33	-55.67	105.26	328
N _m	18.01	0.0	0.0	0.0	0
W _m	95.41	0.0	0.0	0.0	0
R _m	39.92	58.74	27.99	65.07	25
J _m	81.26	-2.88	71.56	71.62	92
G _m	52.23	-42.41	13.6	44.55	162
B _m	30.57	1.41	-46.46	46.49	272

Dreiecks-Helligkeit t^*

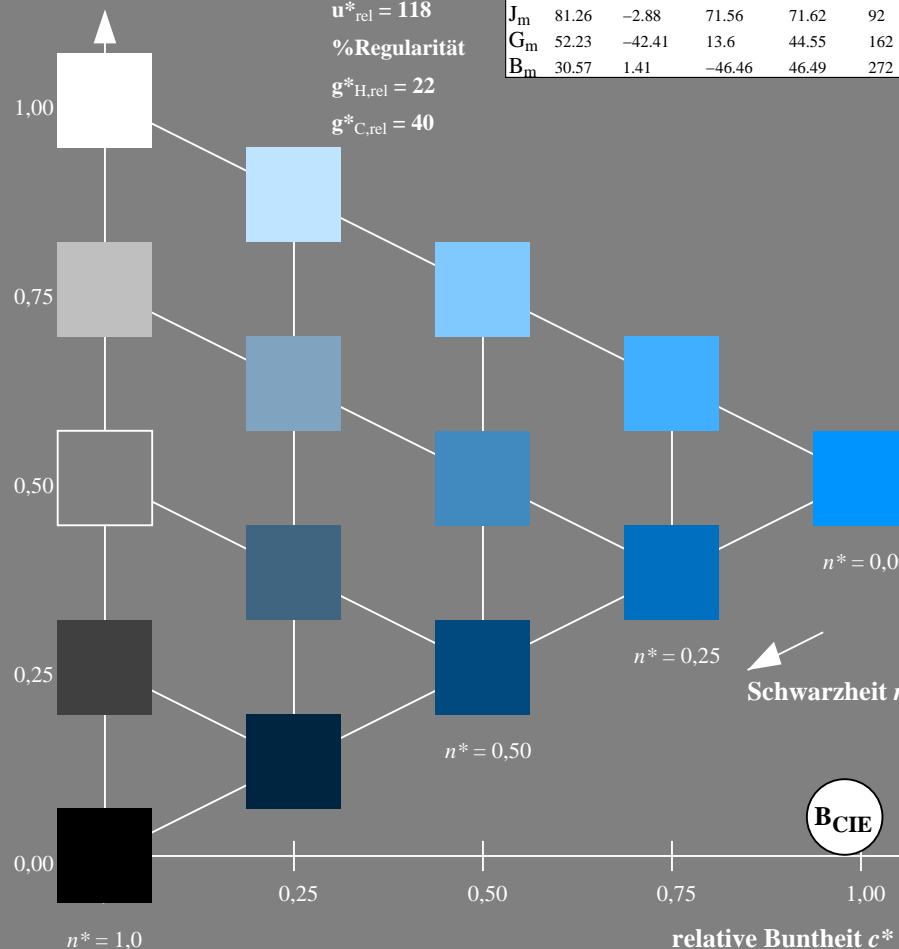
%Umfang

$u^*_{rel} = 118$

%Regularität

$g^*_{H,rel} = 22$

$g^*_{C,rel} = 40$



NG290-7, 5 stufige Reihen für konstanten CIELAB Buntton $272/360 = 0.755$ (links)

Ausgabe: Farbmimetrisches Fernseh-Licht-System TLS18

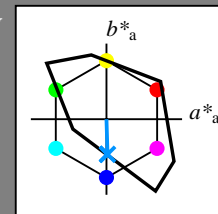
für Buntton $h^* = lab^*h = 272/360 = 0.755$

LAB^*LCH , LAB^*NCH

D65: Buntton B

LCH*Ma: 65 48 272

olv*Ma: 0.0 0.58 1.0



TLS18; adaptierte CIELAB-Daten

	$L^*=L^*_a$	a^*_a	b^*_a	$C^*_{ab,a}$	$h^*_{ab,a}$
O _m	52.76	71.63	49.88	87.29	35
Y _m	92.74	-20.02	84.97	87.3	103
L _m	84.0	-78.98	73.94	108.2	137
C _m	87.14	-44.41	-13.11	46.32	196
V _m	35.47	64.92	-95.06	115.12	304
M _m	59.01	89.33	-55.67	105.26	328
N _m	18.01	0.0	0.0	0.0	0
W _m	95.41	0.0	0.0	0.0	0
R _m	39.92	58.74	27.99	65.07	25
J _m	81.26	-2.88	71.56	71.62	92
G _m	52.23	-42.41	13.6	44.55	162
B _m	30.57	1.41	-46.46	46.49	272

CIELAB-Helligkeit L^*

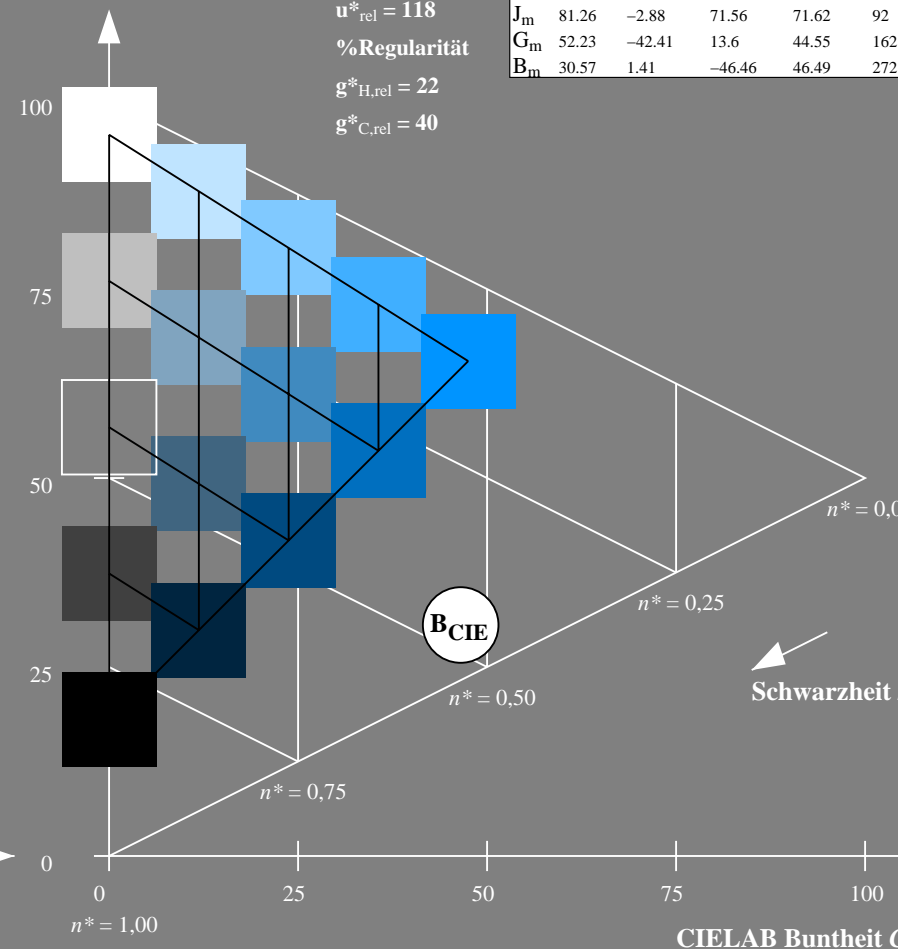
%Umfang

$u^*_{rel} = 118$

%Regularität

$g^*_{H,rel} = 22$

$g^*_{C,rel} = 40$



5 stufige Reihen für konstanten CIELAB Buntton $272/360 = 0.755$ (rechts)

BAM-Prüfvorlage NG29; Farbmimetrik-Systeme TLS18 & TLS18 input: olv* setrgbcolor

D65: Koordinatensysteme; 5stufige Farbreihen für 10 Bunttöne output: no change compared to input